

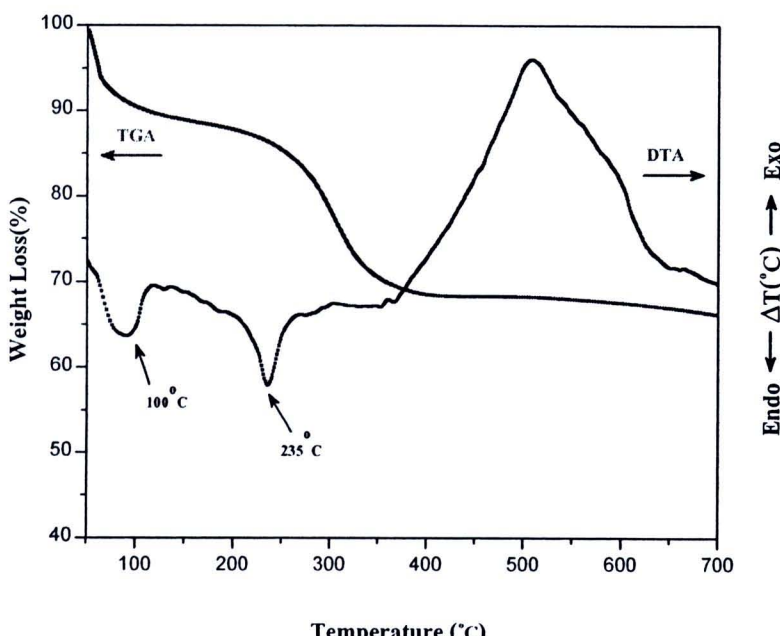
บทที่ 4

ผลการทดลองและอภิปรายผลในระบบของไทเทเนียมไดออกไซด์

ในบทนี้จะเสนอผลการทดลองที่ได้จากการเตรียมผงละอีคและฟิล์มบางของไทเทเนียมไดออกไซด์ (TiO_2) โดยเจลตั้งต้นของ TiO_2 จะถูกตรวจสอบพฤติกรรมทางความร้อน เพื่อให้ทราบช่วงอุณหภูมิโดยประมาณสำหรับการเผาเคลือบไชน์ ผงละอีคของ TiO_2 ที่ผ่านกระบวนการเผาเคลือบไชน์ แล้วจะถูกนำมาตรวจพิสูจน์เอกลักษณ์และตรวจสอบโครงสร้างในระดับจุลภาค ซึ่งข้อมูลที่ได้จะถูกใช้เป็นข้อมูลอ้างอิงในการเตรียมฟิล์มบางของ TiO_2 และฟิล์มบางของ TiO_2 ที่เตรียมได้จะถูกนำมาตรวจสอบโครงสร้างในระดับจุลภาคและศึกษาสมบัติทางแสง ดังรายงานต่อไป

4.1 ผลการตรวจสอบพฤติกรรมทางความร้อนของเจลตั้งต้นของ TiO_2

ในกระบวนการเกิดปฏิกิริยาเคมีหรือการเปลี่ยนแปลงทางโครงสร้างของสารนั้นจะมีการเปลี่ยนแปลงทางความร้อนเกิดขึ้น ซึ่งความร้อนที่เปลี่ยนแปลงไปนั้นสามารถตรวจวัดได้ด้วยเทคนิคไฟฟอเรนเซียลเทอมอโลโนไอลซีท (DTA) เมื่อศึกษาร่วมกับพฤติกรรมการสลายตัวทางความร้อนด้วยเทคนิคเทอร์โมกราฟิตริกโโนนาไอลซีท (TGA) จะทำให้ทราบถึงช่วงอุณหภูมิโดยประมาณในการเกิดปฏิกิริยาเคมีและการเปลี่ยนแปลงทางโครงสร้างของสาร ซึ่งข้อมูลดังกล่าวจะใช้ในการกำหนดช่วงอุณหภูมิสำหรับการเผาเคลือบไชน์เจลตั้งต้นของ TiO_2



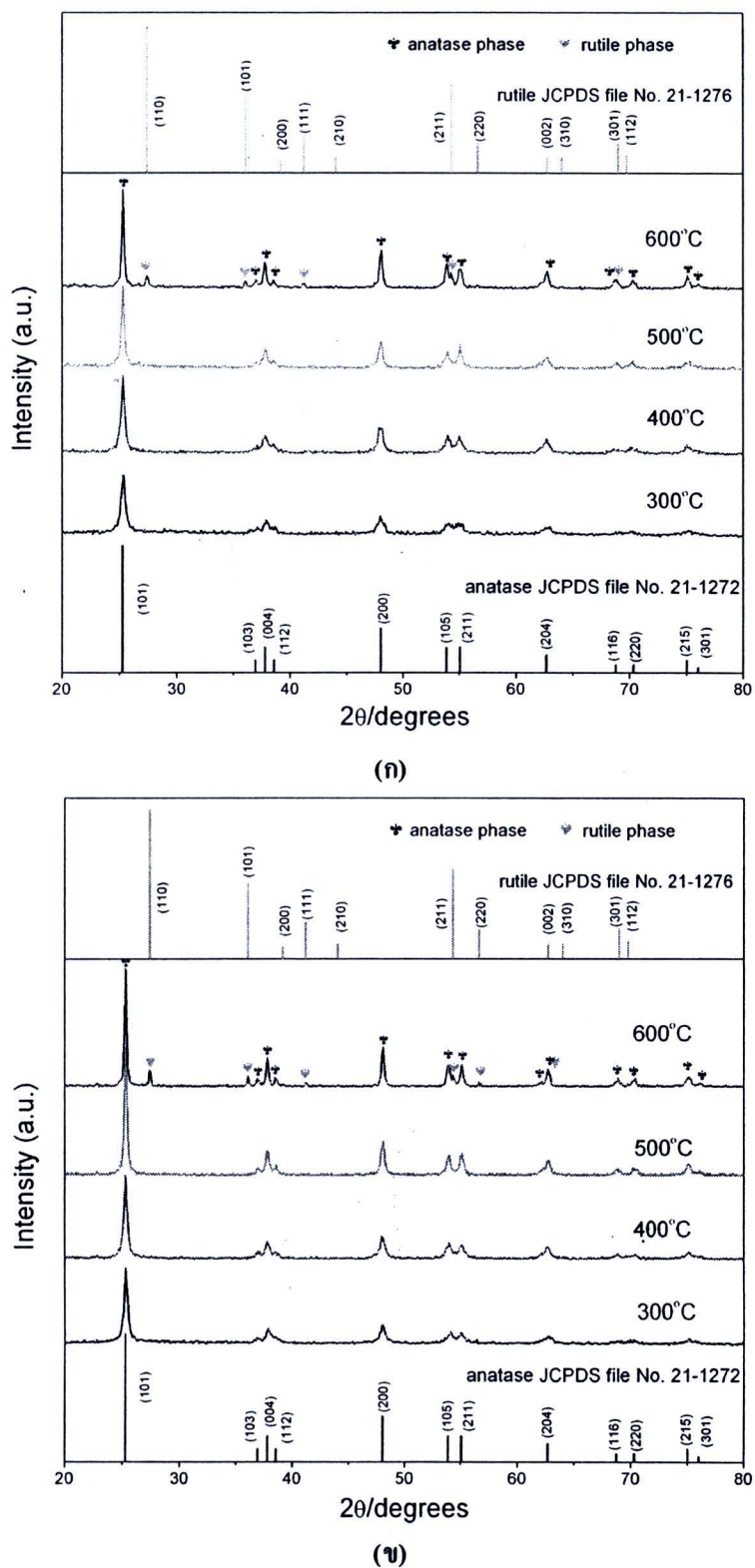
รูปที่ 4.1 แผนภาพ TGA/DTA ของเจลตั้งต้น TiO_2 ที่ความเข้มข้น 0.1 M

ผลการวิเคราะห์ด้วยเทคนิค TGA/DTA ของเจลตั้งต้นของ TiO_2 ที่ความเข้มข้น 0.1 M ดังรูปที่ 4.1 พบว่ามีการสูญเสียน้ำหนักและการเปลี่ยนแปลงพลังงานแบบคุณภาพร้อนที่เด่นชัดอยู่ 2 ช่วง อุณหภูมิคือ ที่ช่วงอุณหภูมิประมาณ $70^{\circ}C - 150^{\circ}C$ มีการสูญเสียน้ำหนักเกิดขึ้นร้อยละ 11.5 ซึ่งคาดว่าจะเกิดจากการสูญเสียน้ำที่อยู่ในรูปของน้ำผลึกที่ถูกคุกคามไว้ในเจลตั้งต้น ส่วนในช่วงอุณหภูมิ $150^{\circ}C - 350^{\circ}C$ มีการสูญเสียน้ำหนักเกิดขึ้นอีกร้อยละ 22.5 เกิดจากการสลายตัวของสารประกอบอินทรีย์ที่ใช้เป็นสารตั้งต้น ซึ่งประกอบด้วย ไอโซโปรพานอล กรดอะซิติก และอะซิลอะซิโนน เมื่อพิจารณาลักษณะพิเศษของการคุกคามพลังงานจะพบว่าพลังงานที่สารคุกคามเข้าไปนั้นมีค่าไม่มาก ทั้งนี้เนื่องมาจากการคุกคามลักษณะของน้ำที่มีความเข้มข้นต่ำ แต่เมื่อเพิ่มอุณหภูมิสูงขึ้นเป็น $400^{\circ}C$ พบว่าจะไม่เกิดการสูญเสียน้ำหนักของเจลตั้งต้น แต่จะพบการเปลี่ยนแปลงทางความร้อนแบบคายความร้อนอย่างชัดเจนในช่วงที่กว้างที่อุณหภูมิ $350 - 650^{\circ}C$ ซึ่งคาดว่าการเปลี่ยนแปลงทางความร้อนที่เกิดขึ้นโดยไม่มีการสูญเสียน้ำหนักนี้น่าจะมีสาเหตุมาจากการเปลี่ยนเฟสของ TiO_2 ดังนั้นเพื่อตรวจสอบความเป็นไปได้ของสาเหตุการเปลี่ยนแปลงทางความร้อนจึงเลือกช่วงอุณหภูมิในการเผาแคลไชน์เจลตั้งต้นของ TiO_2 ที่อุณหภูมิ $300-600^{\circ}C$ ด้วยอัตราการขึ้นของอุณหภูมิเป็น $3^{\circ}C/min$ และอัตราการลงของอุณหภูมิเป็น $1^{\circ}C/min$ เป็นเวลา 2 ชั่วโมง จากนั้นนำลงและอุ่นให้ผ่านการเผาแคลไชน์แล้วไปตรวจพิสูจน์เอกลักษณ์ด้วยเทคนิคการเลี้ยวเบนของรังสีเอกซ์

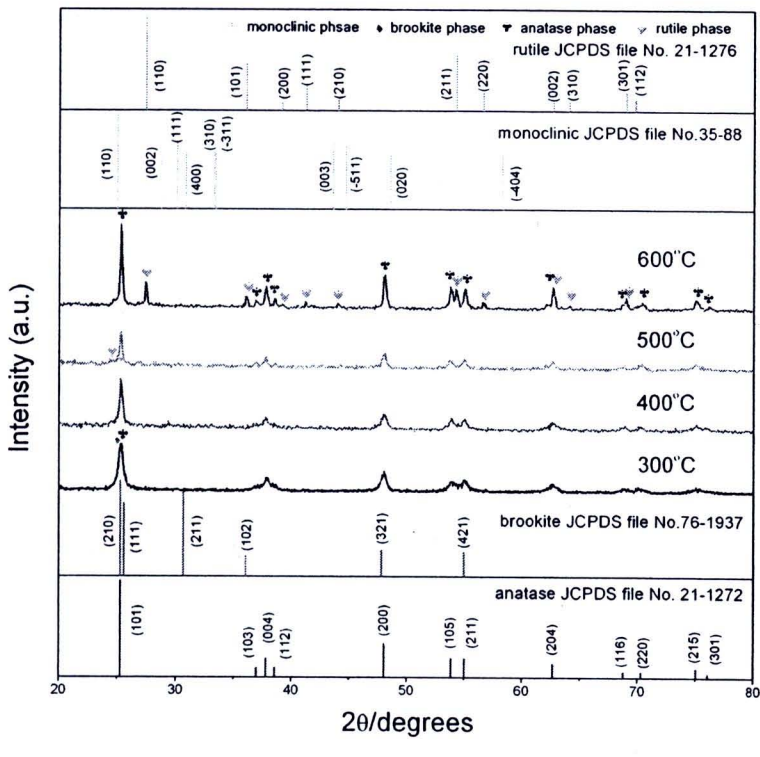
4.2 ผลการตรวจพิสูจน์เอกลักษณ์ของผงละอียด TiO_2 ด้วยเทคนิคการเลี้ยวเบนของรังสีเอกซ์ (X-ray diffraction, XRD)

4.2.1 ผงละอียด TiO_2 ที่ผ่านการเผาแคลไชน์แบบ 1 ขั้นตอน

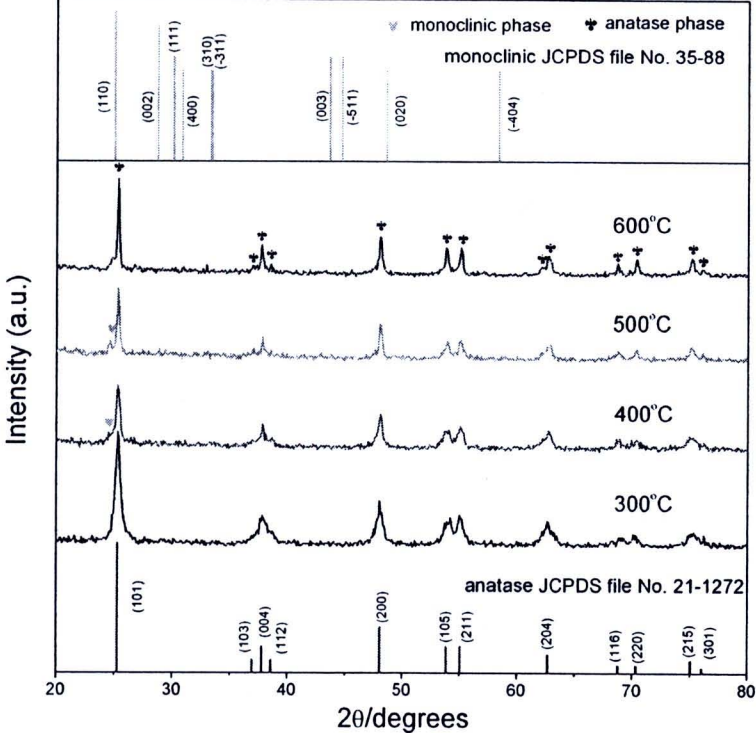
เมื่อทำการเผาแคลไชน์เจลตั้งต้นของ TiO_2 ที่ช่วงอุณหภูมิและภายใต้สภาวะเงื่อนไขที่กำหนด (ทำการเผาแคลไชน์ที่ช่วงอุณหภูมิ $300-600^{\circ}C$ ด้วยอัตราการขึ้นของอุณหภูมิเป็น $3^{\circ}C/min$ และอัตราการลงของอุณหภูมิเป็น $1^{\circ}C/min$ เป็นเวลา 2 ชั่วโมง) ผงละอียดที่ได้จากการเผาแคลไชน์เจลตั้งต้นที่อุณหภูมิต่างๆ จะถูกนำมาตรวจพิสูจน์เอกลักษณ์และการเปลี่ยนเฟสของสารด้วยเทคนิคการเลี้ยวเบนของรังสีเอกซ์ เพื่อนำข้อมูลที่ได้มาออกแบบการเผาแคลไชน์แบบ 2 ขั้นตอนต่อไป ซึ่งผลการตรวจพิสูจน์เอกลักษณ์ของผงละอียดของ TiO_2 ที่ผ่านการเผาแคลไชน์แล้วในทุกความเข้มข้นที่ทำการศึกษาได้แสดงดังรูปที่ 4.2



รูปที่ 4.2 รูปแบบการเลี้ยงเวนของรังสีเอกซ์ของไทเทเนียมไดออกไซด์ที่ผ่านการเผาเคลือบชนิดที่อุณหภูมิต่างๆ และที่ความเข้มข้นของ Ti เป็น (ก) 0.05 M (ข) 0.1 M (ค) 0.15 M (ง) 0.2 M



(2)



(3)

รูปที่ 4.2 (ต่อ)

จากรูปที่ 4.2 (ก-ง) แสดงรูปแบบการเลี้ยวเบนของรังสีเอกซ์ของผละอี้ด TiO_2 ที่ได้จากการเผาแคลไชน์เจลตั้งต้นที่ความเข้มข้นของไทเทเนียมเป็น 0.05, 0.1, 0.15 และ 0.2 โนลาร์ ในช่วงอุณหภูมิ $300\text{--}600^\circ\text{C}$

อุณหภูมิการเผาแคลไชน์ 300°C รูปแบบการเลี้ยวเบนของรังสีเอกซ์ที่เกิดขึ้นของทุกความเข้มข้น สอดคล้องกับรูปแบบการเลี้ยวเบนมาตรฐาน (JCPDS) หมายเลข [21-1272] ซึ่งแสดงโครงสร้างผลึกแบบอะนาเทสของ TiO_2 แต่เมื่อพิจารณาลักษณะของพิกัดที่เกิดจากรอบนา (101) ของโครงสร้างแบบอะนาเทสพบว่าที่ความเข้มข้นของไทเทเนียมเป็น 0.15 โนลาร์ มีลักษณะการแตกออกของยอดพิก ทั้งนี้น่าจะเกิดจากการซ้อนทับของพิกที่เกิดจากการเลี้ยวเบนของรังสีเอกซ์ที่ 2θ เท่ากับ 25.2° ซึ่งสอดคล้องกับรูปแบบการเลี้ยวเบนมาตรฐาน (JCPDS) หมายเลข [76-1937] ที่เป็นพิกหลักของโครงสร้างแบบบรู๊คไคท์ แสดงให้เห็นว่าที่มีความเข้มข้นของไทเทเนียมเป็น 0.15 โนลาร์ มีโครงสร้างผลึกแบบบรู๊คไคท์เกิดปนกับโครงสร้างผลึกแบบอะนาเทส

อุณหภูมิการเผาแคลไชน์ 400°C พบว่า TiO_2 ที่ได้จากการเจลตั้งต้นที่มีความเข้มข้นของไทเทเนียม เป็น 0.05, 0.1 และ 0.15 โนลาร์ มีโครงสร้างผลึกเป็นแบบอะนาเทสเท่านั้น แสดงว่าโครงสร้างแบบอะนาเทสมีความเสถียรทางความร้อนสูงกว่าแบบบรู๊คไคท์ เพราะเมื่อให้ความร้อนสูงขึ้นยังคงพบโครงสร้างแบบอะนาเทสอยู่ในขณะที่โครงสร้างแบบบรู๊คไคท์หายไป และเมื่อพิจารณาลักษณะของพิกหลักที่เกิดจากรอบนา (101) ที่ 2θ เท่ากับ 25.32° ของโครงสร้างผลึกแบบอะนาเทส พบว่า ความเข้ม (Intensity) ของพิกหลักมีค่าสูงขึ้นเมื่ออุณหภูมิการเผาแคลไชน์เพิ่มขึ้นจาก 300°C เป็น 400°C ซึ่งแสดงให้เห็นว่าแนวโน้มความเป็นผลึก (Crystallinity) ของ TiO_2 จะเพิ่มขึ้นเมื่ออุณหภูมิการเผาแคลไชน์สูงขึ้น นอกจากนี้ยังพบว่าความกว้างที่ความสูงเป็นครึ่งหนึ่งของพิก (Full width at half-maximum; FWHM) จะมีค่าลดลงเมื่ออุณหภูมิการเผาแคลไชน์สูงขึ้น อีกด้วย สำหรับ TiO_2 ที่ได้จากการเจลตั้งต้นที่ความเข้มข้นของไทเทเนียมเป็น 0.2 โนลาร์ พบว่ามีโครงสร้างหลักเป็นแบบอะนาเทสและเริ่มปรากฏพิกที่เกิดจากการเลี้ยวเบนที่เกิดจากรอบนา (110) ที่ 2θ เท่ากับ 24.7° ซึ่งสอดคล้องกับรูปแบบการเลี้ยวเบนมาตรฐาน (JCPDS) หมายเลข [35-88] ซึ่งเป็นพิกหลักของโครงสร้างแบบโนโนคลินิกเพิ่มขึ้น ส่งผลให้ความเข้มของพิกหลักที่เกิดจากรอบนา (101) ของโครงสร้างแบบอะนาเทสนี้ค่าลดลง ส่วนความกว้างที่ความสูงเป็นครึ่งหนึ่งของพิกยังคงลดลงเมื่ออุณหภูมิการเผาแคลไชน์เพิ่มขึ้น

อุณหภูมิการเผาแคลไชน์ 500°C พบว่าโครงสร้างผลึกของ TiO_2 ที่ความเข้มข้นของไทเทเนียม เป็น 0.05 และ 0.1 โนลาร์ ยังคงเป็นแบบอะนาเทส ส่วนที่ความเข้มข้นของไทเทเนียมเป็น 0.15 โนลาร์ พบว่าโครงสร้างหลักเป็นแบบอะนาเทสและเริ่มปรากฏพิกที่เกิดจากการเจลตั้งต้นที่มีความเข้มข้นของไทเทเนียมเป็น 0.2 โนลาร์ ยังคงมีโครงสร้างแบบโนโนคลินิกเกิดขึ้น ส่งผลให้ความเข้มของพิกหลักที่เกิดจากรอบนา (101) ของโครงสร้างแบบอะนาเทสนี้ค่าลดลง สำหรับเจลตั้งต้นที่มีความเข้มข้นของไทเทเนียมเป็น 0.2 โนลาร์ ยังคงมีโครงสร้างแบบโนโนคลินิกเกิดปนกับโครงสร้างแบบอะนาเทสของ TiO_2

อุณหภูมิการเผาแคตไชน์ 600°C พบร่วมกับ TiO_2 ที่ได้จากการทดลองตั้งต้นที่ความเข้มข้นของไทเทเนียมเป็น 0.05 และ 0.1 โมลาร์ ยังมีโครงสร้างหลักเป็นแบบอะนาเทส และเริ่มปรากฏพิกที่เกิดจากการเลี้ยวเบนของรากฐาน (110) ที่ 2θ เท่ากับ 27.45° ซึ่งสอดคล้องกับรูปแบบการเลี้ยวเบนมาตรฐาน (JCPDS) หมายเลข [21-1276] เพิ่มขึ้นมา แสดงว่ามีโครงสร้างผลึกแบบบูรุ่งไทล์เกิดปนกับโครงสร้างแบบอะนาเทส และเมื่อพิจารณาพิกหลักที่เกิดจากการอบ (101) ของโครงสร้างแบบอะนาเทส พบร่วมกับความเข้มข้นของพิกลดลงเมื่อปราบภูมิพิกหลักของโครงสร้างแบบบูรุ่งไทล์ แสดงให้เห็นว่ามีการเปลี่ยนแปลงโครงสร้างผลึกจากอะนาเทสไปเป็นบูรุ่งไทล์เพิ่มขึ้น ส่วนที่ความเข้มข้นของไทเทเนียมของเจลตั้งต้นเป็น 0.15 โมลาร์ พบร่วมกับโครงสร้างหลักเป็นแบบอะนาเทส ส่วนพิกของโครงสร้างผลึกแบบโนโนคลินิกจะหายไปและเริ่มปราบภูมิพิกที่เกิดจากโครงสร้างแบบบูรุ่งไทล์เพิ่มขึ้นมา สำหรับเจลตั้งต้นที่มีความเข้มข้นของไทเทเนียมเป็น 0.2 โมลาร์ พบร่วมกับพิกหลักของโครงสร้างผลึกแบบโนโนคลินิกหายไป เหลือแต่พิกที่เกิดจากการเลี้ยวเบนของรังสีเอกซ์ที่เกิดจากโครงสร้างผลึกแบบอะนาเทสเท่านั้น

จากการทดลองตรวจสอบขนาดอุบลักษณ์ของ TiO_2 ที่ได้จะเห็นว่าในช่วงอุณหภูมิประมาณ 400-600°C ไทเทเนียมได้ออกไซด์จะมีการเปลี่ยนแปลงโครงสร้างเกิดขึ้นอย่างต่อเนื่องซึ่งจะสอดคล้องกับข้อมูลที่ได้จากการศึกษาพฤติกรรมทางความร้อนที่ปราบภูมิพิกการคายพลังงานในช่วงอุณหภูมิ 350-650°C

ข้อมูลที่ได้จากการทดลองตรวจสอบอุบลักษณ์ด้วยเทคนิคการเลี้ยวเบนของรังสีเอกซ์ นักวิชาชีวะระบุขั้นตอนของโครงสร้างของสารแล้ว ยังสามารถนำมาใช้ในการคำนวณขนาดอนุภาคของ TiO_2 ค่าเฉลี่ยส่วนโดยรวมของโครงสร้างผลึกแบบบูรุ่งไทล์ และค่าแผลติชพารามิเตอร์ ได้ดังจะกล่าวในหัวข้อดังไป

4.2.2 ขนาดอนุภาคของ TiO_2

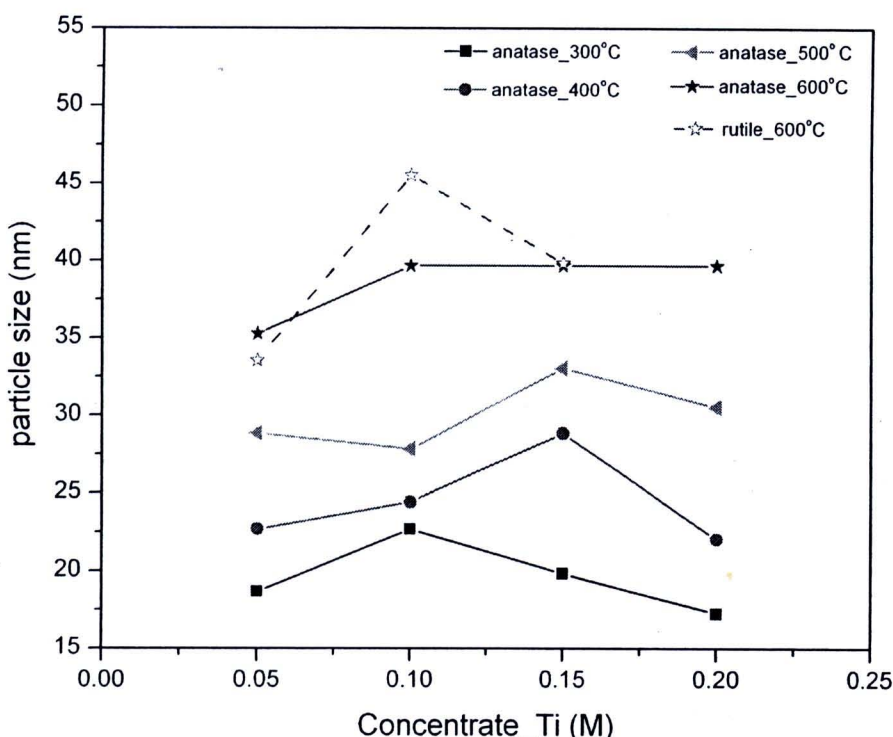
การคำนวณขนาดอนุภาค (Particle size) ของ TiO_2 สามารถคำนวณโดยใช้สมการของเซียเลอร์ (สมการที่ 3.4) ซึ่งผลการคำนวณขนาดอนุภาคของทั้งโครงสร้างแบบอะนาเทสและโครงสร้างแบบบูรุ่งไทล์ได้รายงานไว้ในตารางที่ 4.1

ตารางที่ 4.1 การทดลองสำหรับการสังเคราะห์และวิเคราะห์ผลิตภัณฑ์ที่ได้จากการเผาไหม้ในอุปกรณ์แบบ 1 ชั้นเดียว

ความเข้มข้นของ Ti (M)	อุณหภูมิเบล็อก °C	ความเข้มข้นของรีดิฟาร์มิเตอร์ (รีดิฟ)	ระยะตัววนโคเมตอลิก	ผลนาฬิก				ผลพิช桦าร์มิเตอร์				ขนาดอนุภาค	
				ระยะนาฬิก		รีดิฟ		ผลพิช桦าร์มิเตอร์		ขนาดอนุภาค			
a = b (Å)		c (Å)		ปริมาตรหานวยเซลล์ (Å ³)	a = b (Å)	c (Å)	ปริมาตรหานวยเซลล์ (Å ³)	ระยะนาฬิก (nm)	รีดิฟ (nm)	ระยะนาฬิก (nm)	รีดิฟ (nm)	ระยะนาฬิก (nm)	รีดิฟ (nm)
0.05	300	-	3.788	9.484	136.058	-	-	-	-	18.671	-		
	400	-	3.784	9.489	135.861	-	-	-	-	22.673	-		
	500	-	3.780	9.574	136.819	-	-	-	-	28.855	-		
	600	14.23	3.784	9.543	136.636	4.596	2.961	62.562	35.267	33.557			
	300	-	3.784	9.489	135.861	-	-	-	-	22.673	-		
	400	-	3.784	9.543	136.636	-	-	-	-	24.416	-		
0.1	500	-	3.780	9.546	136.427	-	-	-	-	27.844	-		
	600	15.35	3.784	9.543	136.636	4.591	2.957	62.338	39.676	45.542			
	300	-	3.784	9.543	136.636	-	-	-	-	19.838	-		
	400	-	3.784	9.460	135.456	-	-	-	-	28.857	-		
	500	-	3.784	9.543	136.636	-	-	-	-	33.062	-		
	600	28.10	3.784	9.543	136.636	4.591	2.957	62.338	39.676	39.851			
0.2	300	-	3.788	9.484	136.058	-	-	-	-	17.250	-		
	400	-	3.784	9.489	135.861	-	-	-	-	22.043	-		
	500	-	3.784	9.543	136.636	-	-	-	-	30.520	-		
	600	-	3.784	9.543	136.636	-	-	-	-	39.676	-		

4.2.2.1 ผลของการเพิ่มขั้นของไทเทเนียมต่อขนาดอนุภาค

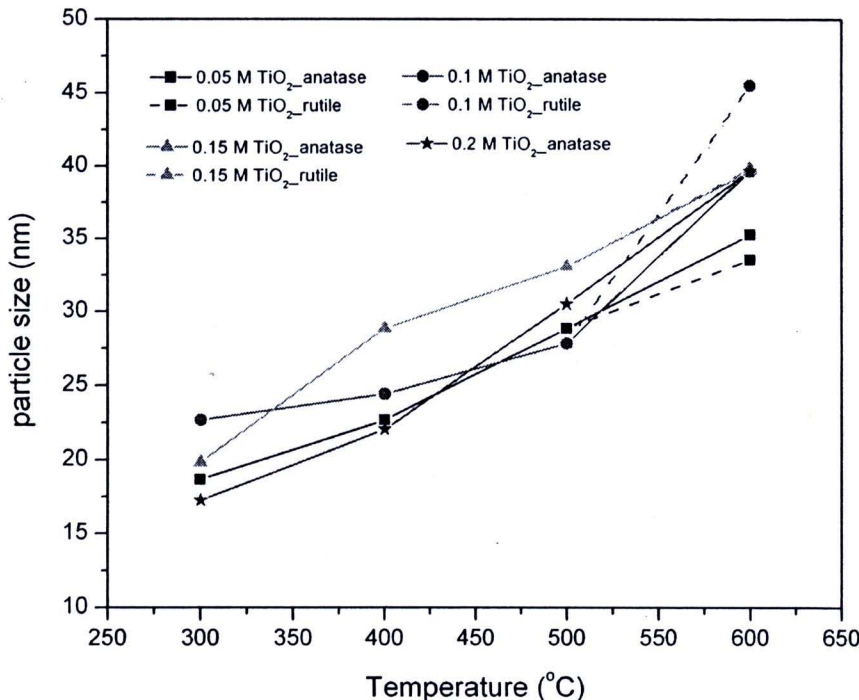
กราฟความสัมพันธ์ระหว่างขนาดอนุภาคของ TiO_2 กับความเข้มข้นของไทเทเนียมในเจลตั้งตันที่แสดงไว้ในรูปที่ 4.3 จะสังเกตเห็นว่าที่ทุกอุณหภูมิการเผาแคลด์ใช้น้ำยาเปลี่ยนแปลงขนาดอนุภาคเมื่อมีการเปลี่ยนแปลงความเข้มข้นของไทเทเนียมในเจลตั้งตันจะเป็นไปอย่างไม่มีนัยสำคัญ แสดงว่าผลของการเพิ่มขั้นของไทเทเนียมในเจลตั้งตันมีผลต่อขนาดอนุภาคของ TiO_2 น้อยมาก



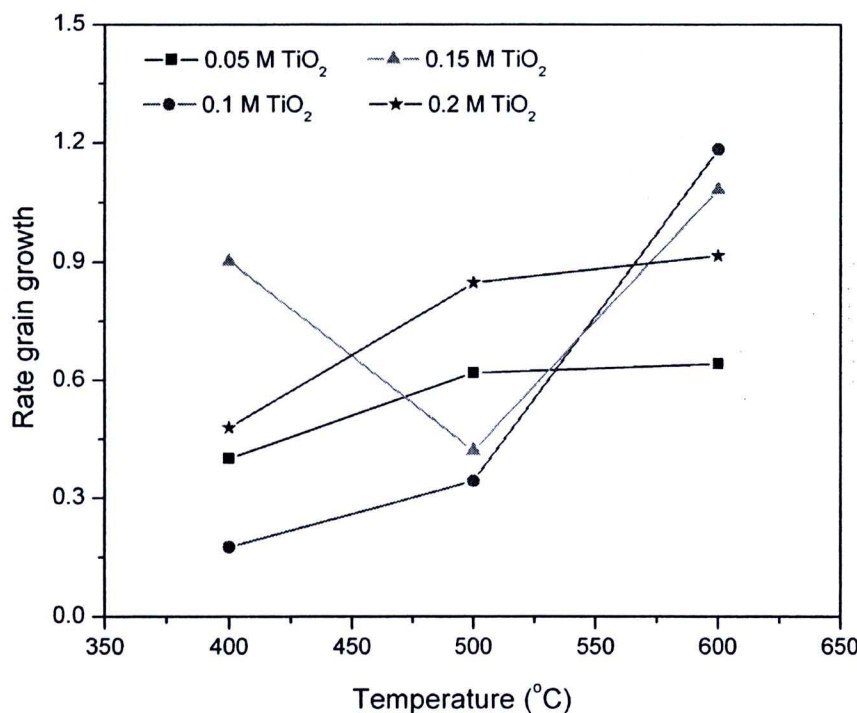
รูปที่ 4.3 กราฟแสดงความสัมพันธ์ระหว่างขนาดอนุภาคของไทเทเนียมโดยออกไซด์เทียบกับความเข้มข้นของไทเทเนียมในเจลตั้งตัน

4.2.2.2 ผลของการเพิ่มขั้นของอนุภาค (อธิบายแนวโน้มที่ 0.15 M ที่แยกขนาดครุไทล์)

เมื่อนำขนาดอนุภาคของ TiO_2 ที่คำนวนได้จากผลการเลือดขีดบนของรังสีเอกซ์รัมพลอตกราฟเทียบกับอุณหภูมิการเผาแคลด์ใช้น้ำยาที่ได้กราฟดังแสดงในรูปที่ 4.4 พบว่าที่ทุกความเข้มข้นขนาดอนุภาคจะเพิ่มขึ้นตามอุณหภูมิที่ใช้ในการเผาแคลด์ใช้น้ำยาโดยขนาดอนุภาคจะเพิ่มขึ้นอย่างช้าๆ ที่ช่วงอุณหภูมิการเผาแคลด์ใช้น้ำยาต่ำๆ และจะเพิ่มขึ้นอย่างรวดเร็วที่ช่วงอุณหภูมิการเผาแคลด์ใช้น้ำยาสูงๆ และเมื่อทำการคำนวนอัตราการเติบโตของขนาดอนุภาคพบว่าอัตราการเติบโต (Rate grain growth) ของอนุภาคจะมีค่าสูงขึ้นเมื่ออุณหภูมิการเผาแคลด์ใช้น้ำยาสูงขึ้นดังแสดงไว้ในรูปที่ 4.5



รูปที่ 4.4 กราฟแสดงความสัมพันธ์ระหว่างขนาดอนุภาคของ TiO_2 เทียบกับอุณหภูมิการเผา
แคลไชน์



รูปที่ 4.5 กราฟแสดงความสัมพันธ์ระหว่างอัตราการเติบโตของอนุภาคอะนาเทสของ TiO_2 เทียบ
กับอุณหภูมิการเผาแคลไชน์

ผลของอุณหภูมิการเผาแคลไชน์ที่มีต่อขนาดอนุภาคสามารถอธิบายได้โดยอาศัยความสัมพันธ์ในสมการที่ 4.1 ซึ่งเป็นสมการของอาร์เรนีヒส (Arrhenius equation)

$$k = Ae^{-E_a/RT} \quad (4.1)$$

เมื่อ k คือ ค่าคงที่อัตรา (Rate constant)

A คือ แฟกเตอร์ความถี่ (Frequency factor)

E_a คือ พลังงานก่อกัมมันต์ (Activation energy)

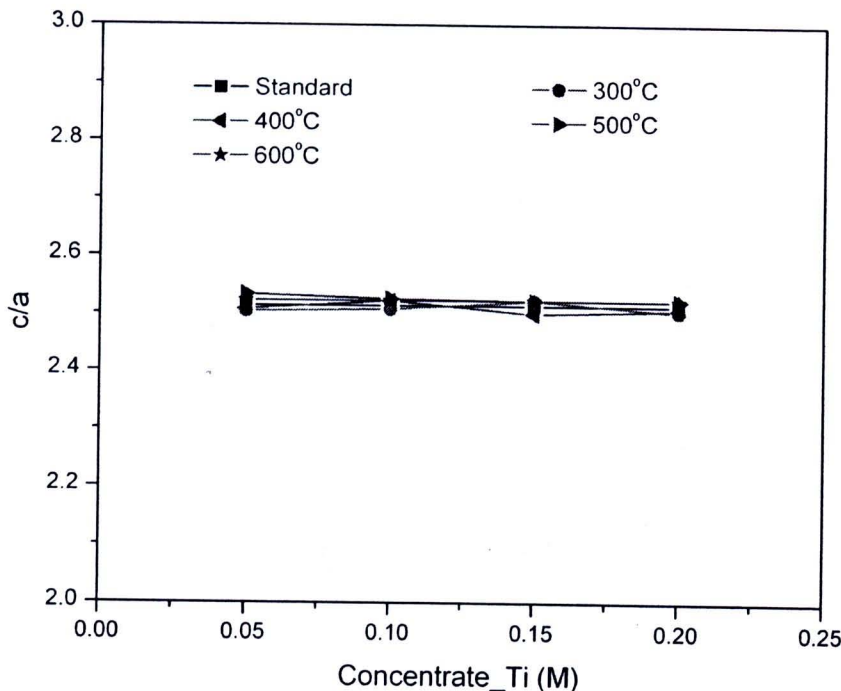
R คือ ค่าคงที่ของแก๊ส (Gas constant)

T คือ อุณหภูมิสัมบูรณ์ (Absolute temperature)

พิจารณาสมการของอาร์เรนีสที่ช่วงอุณหภูมิต่ำๆ พบว่าค่าคงที่อัตราจะมีค่าน้อยส่งผลให้อัตราการเติบโตของอนุภาคมีค่าน้อยเช่นกัน ดังนี้ที่ช่วงอุณหภูมิต่ำๆ เมื่อมีการเพิ่มอุณหภูมิสูงขึ้น การเพิ่มขึ้นของขนาดอนุภาคจะเป็นไปอย่างช้าๆ แต่เมื่อพิจารณาสมการที่ช่วงอุณหภูมิสูงๆ พบว่า ค่าคงที่อัตราจะมีค่าสูงส่งผลให้อัตราการเติบโตของอนุภาคมีค่าสูงไปด้วย ดังนั้นขนาดอนุภาคจะเพิ่มขึ้นอย่างรวดเร็วเมื่อทำการเพิ่มอุณหภูมิการเผาแคลไชน์ในช่วงอุณหภูมิสูงๆ

4.2.3 ค่าແລຕທີ່ພາຣາມີເທືອර

สำหรับค่าແລຕທີ່ພາຣາມີເທືອຮອງໂຄຮງສ້າງພລືກແບນອະນາເທສແລະຮູ່ໄກລ໌ຂອງ TiO_2 สามารถคำนวณหาได้จากสมการที่ (3.3) โดยสรุปค่าແລຕທີ່ພາຣາມີເທືອร์ต่างๆ ไว้ในตารางที่ 4.1 เมื่อพิจารณากราฟความสัมพันธ์ระหว่างค่า c/a ของแต่ละอุณหภูมิเทียบกับความเข้มข้นของໄກເທເນີຍນິຽນໃນรูปที่ 4.6 พบว่าໂຄຮງສ້າງພລືກແບນອະນາເທສຂອງ TiO_2 ไม่เกิดการເປັນແປງອຍ່ານມີນັບສຳຄັນ ແສດງວ່າອຸນຫະກຸນີການເພາແຄລໄชນໍແລະ ຄວາມເຂັ້ມຂັ້ນຂອງໄກເທເນີຍນິຢີນໄມ້ມີຜົດທໍາໃຫ້ໂຄຮງສ້າງພລືກອະນາເທສຂອງ TiO_2 ເປັນແປງ



รูปที่ 4.6 กราฟแสดงความสัมพันธ์ระหว่างค่า c/a ของโครงสร้างอะนาเทสของ TiO_2 ที่ผ่านการเผาเคลือบแบบ 1 ขั้นตอน เทียบกับความเข้มข้นของไทเทเนียม

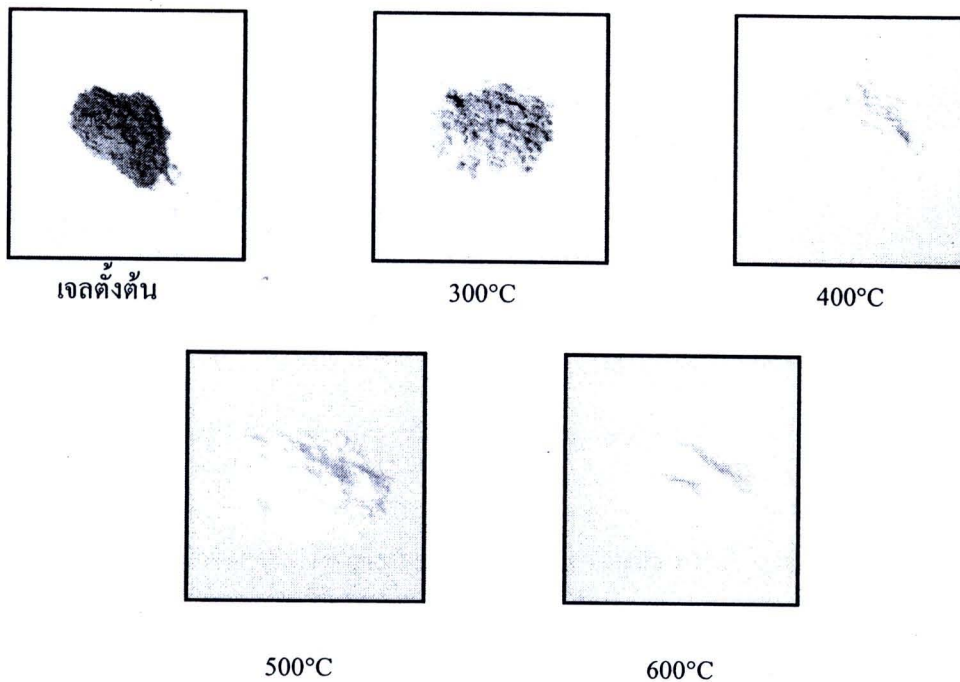
4.2.4 เศษส่วนโดยมวลของรูไกล์

เศษส่วนโดยมวล (Mass fraction; X_R) ของรูไกล์สามารถคำนวณได้จากสมการที่ (3.2) ดังนี้

$$X_R = \frac{\text{จำนวนรูไกล์}}{\text{จำนวนรูไกล์} + \text{จำนวนไทเทเนียม}} \quad (4.1)$$

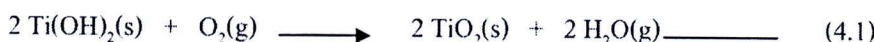
จากการที่ 4.1 ตารางจะเห็นว่าที่ความเข้มข้น $0.05 - 0.15 \text{ M}$ ปริมาณการเกิดรูไกล์จะเพิ่มขึ้นเมื่อความเข้มข้นของไทเทเนียมเพิ่มขึ้น ส่วนที่ความเข้มข้น 0.2 M ไม่พบการเกิดขึ้นของโครงสร้างแบบรูไกล์นี้ออกจาก.....

4.3 ลักษณะทางกายภาพของเจลตั้งต้นก่อนการเผาแคลไชน์และหลังการเผาแคลไชน์

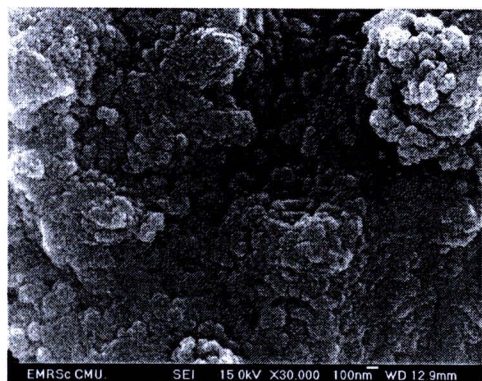
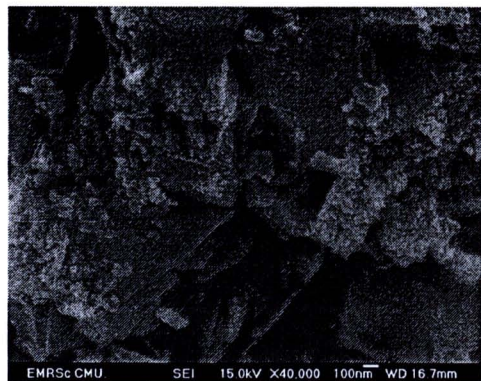


รูปที่ 4.7 รูปแสดงลักษณะทางกายภาพของเจลตั้งต้นของ TiO_2 ที่สังเคราะห์ได้ก่อนการเผาแคลไชน์ และหลังการเผาแคลไชน์ที่อุณหภูมิต่างๆ

ผงไทเทเนียมไฮดรอกไซด์ที่สังเคราะห์ได้จากวิธีการตกละกอนมีลักษณะทางกายภาพเป็นผงสีเหลือง โดยการกระจายตัวของผงไทเทเนียมไฮดรอกไซด์จะค่อนข้างสม่ำเสมอแต่บางส่วนเกิดการเกาะกลุ่มรวมตัวกัน ดังรูปที่ 4.1(ก) และเมื่อนำไปผงไทเทเนียมไฮดรอกไซด์เผาໄล่สารอินทรีย์ออก จนเกลือเป็นไทเทเนียมไฮดรอกไซด์แล้ว ลักษณะของผงที่ได้จะเป็นผงละเอียดเสี้ยว ดังรูปที่ 4.1 (ข) เนื่องจากเมื่อนำผงไทเทเนียมไฮดรอกไซด์ที่สังเคราะห์ได้ไปเผาจะทำให้เกิดการสลายตัวด้วยความร้อน ได้สารผลิตภัณฑ์เป็นไทเทเนียมไฮดรอกไซด์และน้ำในสภาวะแก๊ส ดังสมการที่ 4.1



4.4 ผลการตรวจสอบโครงสร้างในระดับจุลภาคของผงละอีบด TiO_2 ด้วยกล้องจุลทรรศน์อิเล็กตรอนแบบส่องกราด (SEM)



TiO_2 -500°C

TiO_2 -600°C

รูปที่ 4.8 ภาพถ่าย SEM ของผงละอีบด TiO_2 ที่ผ่านการเผาแคลดไชน์ที่อุณหภูมิ (ก) 500°C

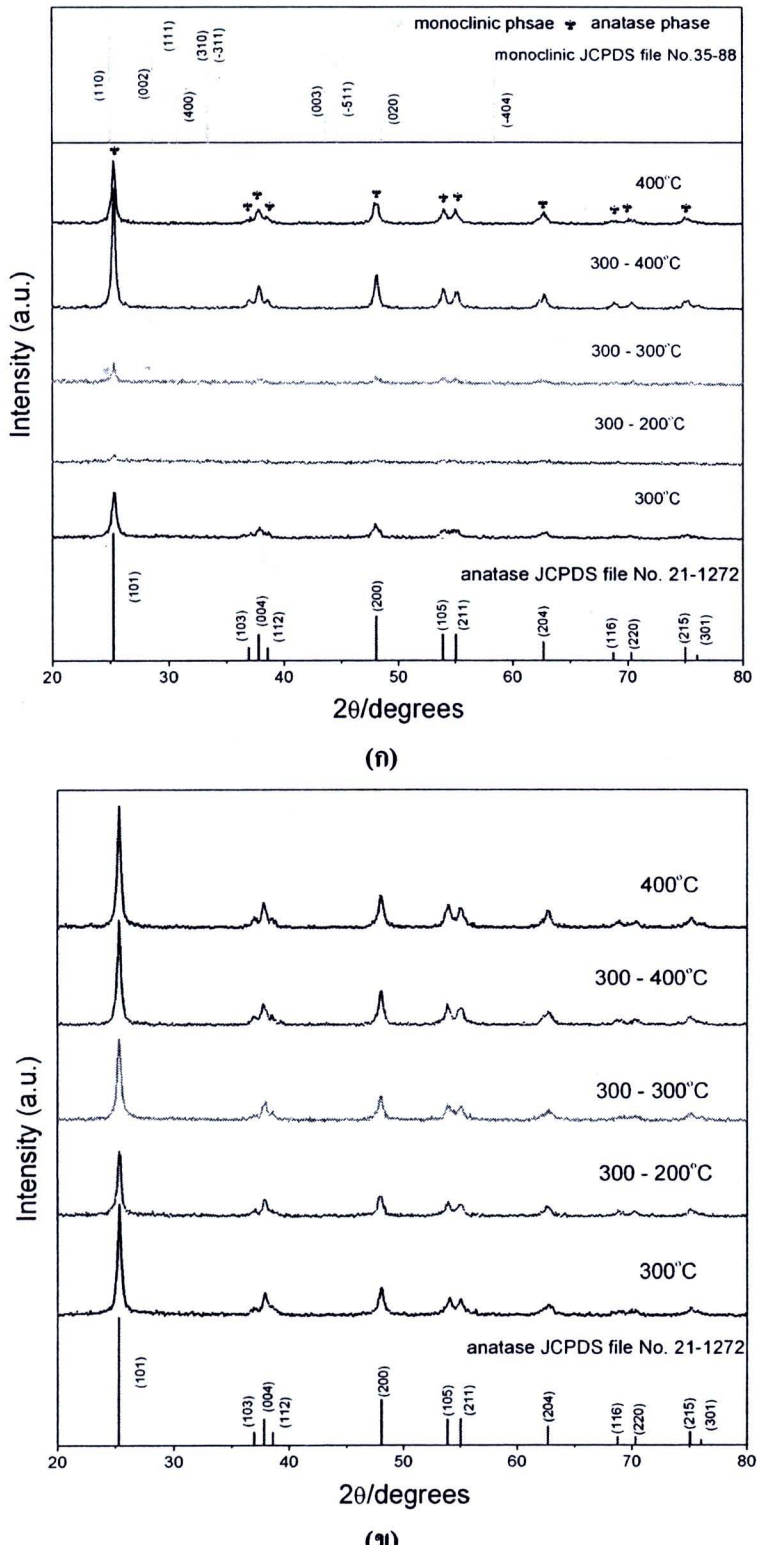
(ข) 600°C

4.5 ผลการตรวจพิสูจน์เอกลักษณ์ของผงละอียด TiO_2 ที่ผ่านการเผาแคลไชน์แบบ 2 ขั้นตอนด้วยเทคนิคการเลี้ยวเบนของรังสีเอกซ์ (XRD)

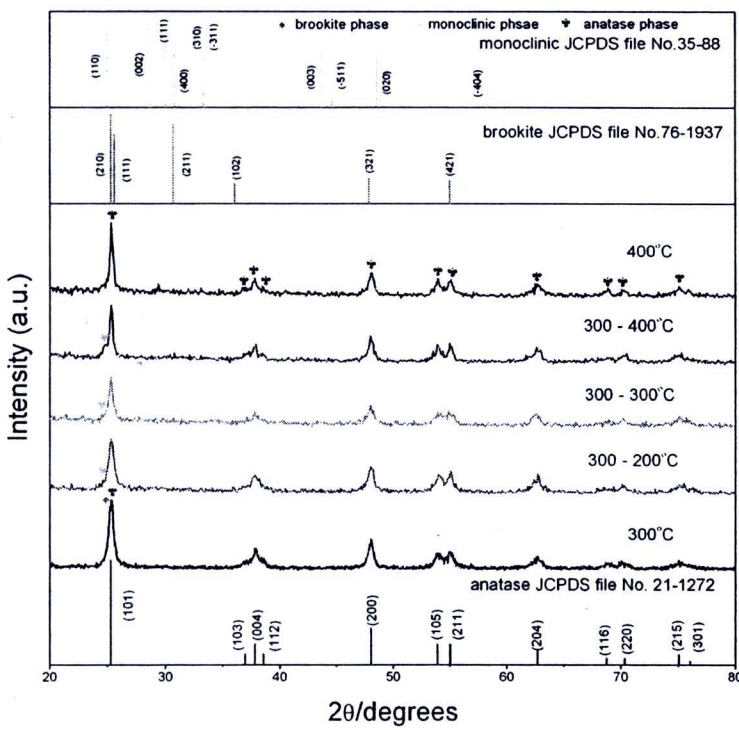
จากผลตรวจพิสูจน์เอกลักษณ์ของผงละอียดของ TiO_2 ด้วยเทคนิคการเลี้ยวเบนของรังสีเอกซ์พบว่าอุณหภูมิการเผาแคลไชน์ $300^{\circ}C$ เป็นอุณหภูมิที่สารเกิดและมีการจัดเรียงตัวเป็นโครงสร้างหลักแบบอะนาเทสเกิดขึ้น ดังนั้นในกระบวนการเผาแคลไชน์แบบ 2 ขั้นตอน จะทำการเผาแคลไชน์ที่อุณหภูมิ $300^{\circ}C$ เป็นเวลา 2 ชั่วโมง ด้วยอัตราการขึ้นของอุณหภูมิเป็น $3^{\circ}C/min$ จากนั้นจะทำการลดอุณหภูมิลงมาที่ $25^{\circ}C$ เพื่อให้สารที่ทำการแคลไชน์เหลืออยู่ ด้วยอัตราการลงของอุณหภูมิเป็น $1^{\circ}C/min$ แล้วให้ความร้อนขึ้นอีกครั้งในขั้นตอนที่ 2 โดยเลือกใช้อุณหภูมิที่ $200^{\circ}C$ $300^{\circ}C$ และ $400^{\circ}C$ และทำการบันทึกไว้เป็นเวลา 2 ชั่วโมง ด้วยอัตราการขึ้นและลงของอุณหภูมิเหมือนกับในขั้นตอนที่ 1 จากนั้นนำผงละอียดของ TiO_2 ที่ได้มาตรวจพิสูจน์เอกลักษณ์ด้วยเทคนิคการเลี้ยวเบนของรังสีเอกซ์ ซึ่งผลการตรวจพิสูจน์เอกลักษณ์ได้แสดงไว้ในรูปที่ 4.7

จากรูปที่ 4.7 (ก-ง) แสดงรูปแบบการเลี้ยวเบนของรังสีเอกซ์ของผงละอียด TiO_2 ที่ได้จากการเผาแคลไชน์เฉล็ตตั้งต้นที่ความเข้มข้นของไทเทเนียมเป็น 0.05, 0.1, 0.15 และ 0.2 โมลาร์ ด้วยวิธีการเผาแบบ 2 ขั้นตอน เปรียบเทียบกับการเผาแคลไชน์แบบ 1 ขั้นตอน ที่อุณหภูมิ $300^{\circ}C$ และ $400^{\circ}C$

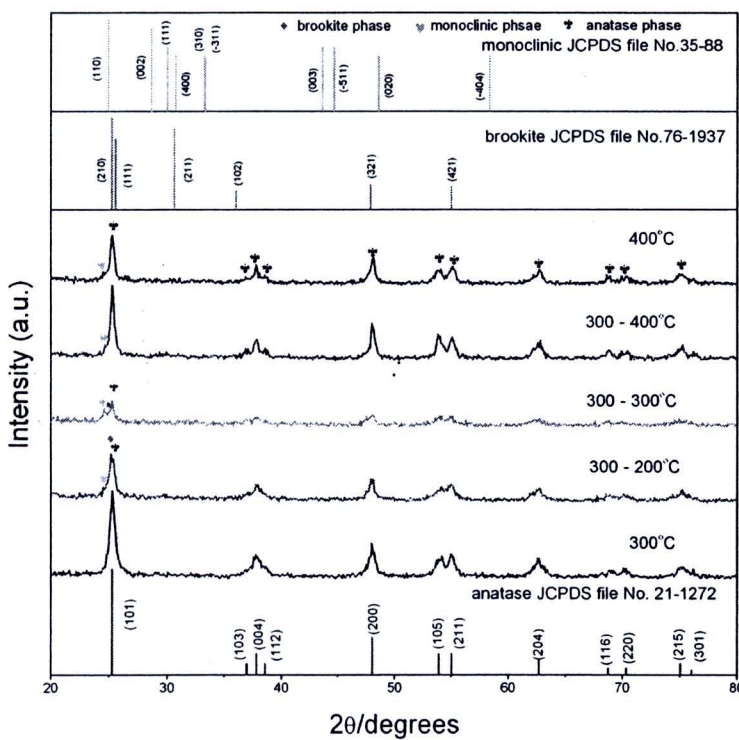
ที่ความเข้มข้นของไทเทเนียมเป็น 0.05 โมลาร์ พบว่าการเผาแคลไชน์ที่อุณหภูมิในขั้นตอนแรกเป็น $300^{\circ}C$ และขั้นตอนที่ 2 เป็น $200^{\circ}C$ ($300-200^{\circ}C$) จะมีโครงสร้างหลักของ TiO_2 เป็นแบบอะนาเทส และความเข้มของพีกหลักที่เกิดจากระนาบ (101) มีค่าน้อยกว่าการเผาแคลไชน์แบบ 1 ขั้นตอนที่ $300^{\circ}C$ เมื่อทำการเพิ่มอุณหภูมิในขั้นตอนที่ 2 เป็น $300^{\circ}C$ ($300-300^{\circ}C$) พบว่าโครงสร้างหลักของ TiO_2 ยังคงเป็นแบบอะนาเทสและเริ่มปรากฏพีกที่ 2θ เท่ากับ 24.7° ซึ่งสอดคล้องกับรูปแบบการเลี้ยวเบนมาตรฐาน (JCPDS) หมายเลข [35-88] และแสดงว่ามีโครงสร้างหลักแบบโนโนคลินิกเกิดปนกับโครงสร้างหลักแบบอะนาเทส และความเข้มของพีกหลักของโครงสร้างแบบอะนาเทสมีค่าเพิ่มขึ้นจากการเผาแคลไชน์แบบ $300-200^{\circ}C$ แต่ยังคงน้อยกว่าการเผาแคลไชน์แบบ 1 ขั้นตอนที่ $300^{\circ}C$ เมื่ออุณหภูมิในขั้นตอนที่ 2 เพิ่มถึง $400^{\circ}C$ ($300-400^{\circ}C$) พบว่าโครงสร้างแบบโนโนคลินิกหายไปเหลือแต่โครงสร้างแบบอะนาเทสเท่านั้น และความเข้มของพีกหลักมีค่าสูงขึ้นมากกว่าการเผาแคลไชน์แบบ 1 ขั้นตอน ที่ $300^{\circ}C$ และ $400^{\circ}C$ ซึ่งแสดงให้เห็นว่าการเผาแคลไชน์แบบ $300-400^{\circ}C$ มีความเป็นผลลัพธ์สูงกว่า



รูปที่ 4.9 รูปแบบการเลือบเวนของรังสีเอกซ์ของไทเทเนียมไดออกไซด์ที่ผ่านการเผาแคลไชน์ด้วยวิธีการแบบ 2 ขั้นตอน ที่ความเข้มข้นของ Ti เป็น (ก) 0.05 M (ข) 0.1 M (ค) 0.15 M (ง) 0.2 M



(n)



(q)

รูปที่ 4.9 (ต่อ)

ที่ความเข้มข้นของไทเทเนียมเป็น 0.1 โมลาร์ พบร่วมกับที่ทุกอุณหภูมินี้โครงสร้างผลึกของ TiO_2 เป็นโครงสร้างผลึกแบบอะนาเทสเท่านั้น ความเข้มข้นของพิกหลักจะเพิ่มขึ้นเมื่ออุณหภูมิแคลไชน์ในขั้นตอนที่ 2 เพิ่มขึ้น แต่ที่อุณหภูมิการเผา 300-200°C และ 300-300°C มีความเข้มข้นของพิกหลักน้อยกว่า การเผาแบบ 1 ขั้นตอนที่ 300°C ส่วนที่อุณหภูมิการเผา 300-400°C มีความเข้มข้นของพิกหลักมากกว่าการเผาแบบ 1 ขั้นตอนที่ 300°C แต่น้อยกว่าการเผาแบบ 1 ขั้นตอนที่ 400°C

ที่ความเข้มข้นของไทเทเนียมเป็น 0.15 โมลาร์ พบร่วมกับที่ทุกอุณหภูมิจะมีโครงสร้างผลึกแบบโนโนคลินิกเกิดปนกันโครงสร้างหลักแบบอะนาเทส และปริมาณของโครงสร้างผลึกแบบโนโนคลินิกมีแนวโน้มสูงขึ้นเมื่ออุณหภูมิในขั้นตอนที่ 2 สูงขึ้น ส่วนแนวโน้มความเป็นผลึกของการเผาแคลไชน์แบบ 2 ขั้นตอน จะน้อยกว่าการเผาแบบ 1 ขั้นตอนที่ 300°C และ 400°C เนื่องจากความเข้มข้นของพิกหลักมีค่าน้อยกว่า

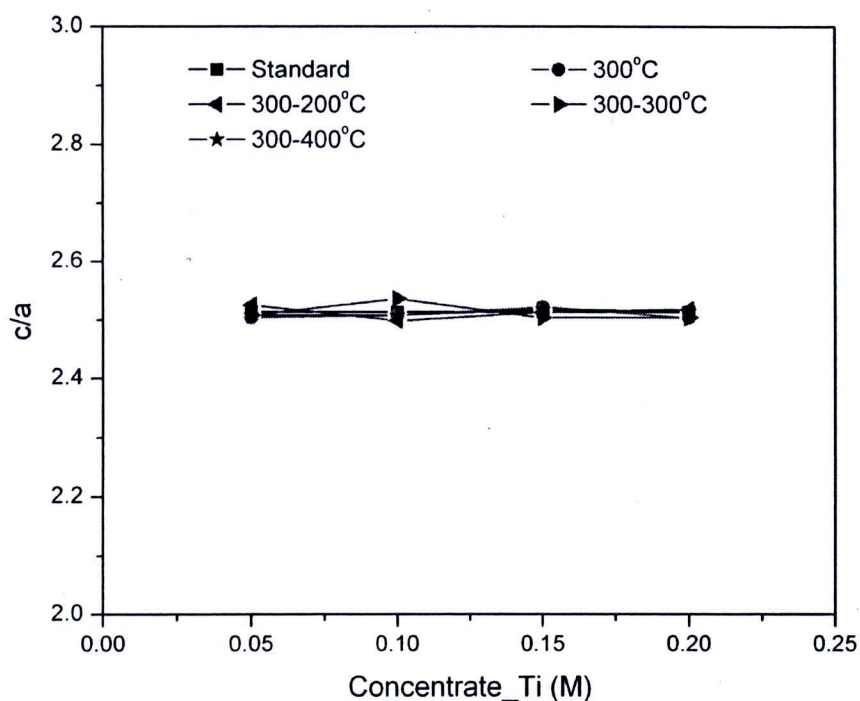
ที่ความเข้มข้นของไทเทเนียมเป็น 0.2 โมลาร์ พบร่วมกับการเผาแคลไชน์แบบ 300-200°C และ 300-300°C จะปรากฏพิกซึ่งสอดคล้องกับรูปแบบการเรี้ยวบนมาตรฐาน (JCPDS) หมายเลขอารย์ [35-88] [76-1937] และ [21-1272] ตามลำดับ แสดงให้เห็นว่า TiO_2 มีโครงสร้างผลึกแบบโนโนคลินิก บรุ๊คไคท์ และอะนาเทสเกิดปนกัน เมื่อพิจารณาความเข้มข้นของพิกหลักของแต่ละโครงสร้างพบว่า ความเข้มข้นของพิกหลักของโครงสร้างแบบบรุ๊คไคท์และอะนาเทสมีค่าลดลง แต่ความเข้มข้นของพิกหลักของโครงสร้างแบบโนโนคลินิกมีค่าเพิ่มขึ้นเมื่ออุณหภูมิในขั้นตอนที่ 2 เพิ่มขึ้น ส่วนที่การเผาแบบ 300-400°C พบร่วมกับที่เกิดจากโครงสร้างแบบบรุ๊คไคท์หายไป ปรากฏเฉพาะพิกที่เกิดจากโครงสร้างแบบอะนาเทสและโนโนคลินิกเท่านั้น ความเข้มข้นของพิกหลักของโครงสร้างแบบโนโนคลินิกลดลง แต่ความเข้มข้นของพิกหลักของโครงสร้างแบบอะนาเทสมีค่าเพิ่มขึ้นและมีค่ามากกว่าความเข้มข้นของพิกหลักที่ได้จากการเผาแคลไชน์แบบ 1 ขั้นตอน ที่ 300°C และ 400°C

ตารางที่ 4.2 ผลิตภัณฑ์พารามิเตอร์ แรงดันความดันของ “ไทยนีบม” ไดรอกาโซ่ค์ที่ผ่านการเผาแลก “ชานเมบะ 2” บนเตาไฟ

ความเข้มข้นของ Ti (M)	อุณหภูมิแก๊สไนโตร (°C)	ผลิตภัณฑ์พารามิเตอร์			ขนาดอนุภาค (nm)
		a = b (Å)	c (Å)	ปริมาตรหน่วยเซลล์ (Å ³)	
0.05	300-200	3.78033	9.54646	136.42746	19.839
	300-300	3.78396	9.48861	135.86127	27.364
0.1	300-400	3.78396	9.48861	135.86127	26.452
	300-200	3.78382	9.45944	135.57679	22.353
0.15	300-300	3.78396	9.59766	137.42269	22.460
	300-400	3.78396	9.48861	135.86127	23.340
0.2	300-200	3.78582	9.51302	136.34472	15.870
	300-300	3.78768	9.48367	136.05766	22.672
	300-400	3.78768	9.53762	136.83165	24.415
	300-200	3.78768	9.53762	136.83165	16.171
	300-300	3.78768	9.48367	136.05766	21.160
	300-400	3.78396	9.51395	136.22410	23.339

4.6 ผลของวิธีการเผาแคลไชน์ที่มีต่อโครงสร้างผลึกของ TiO_2

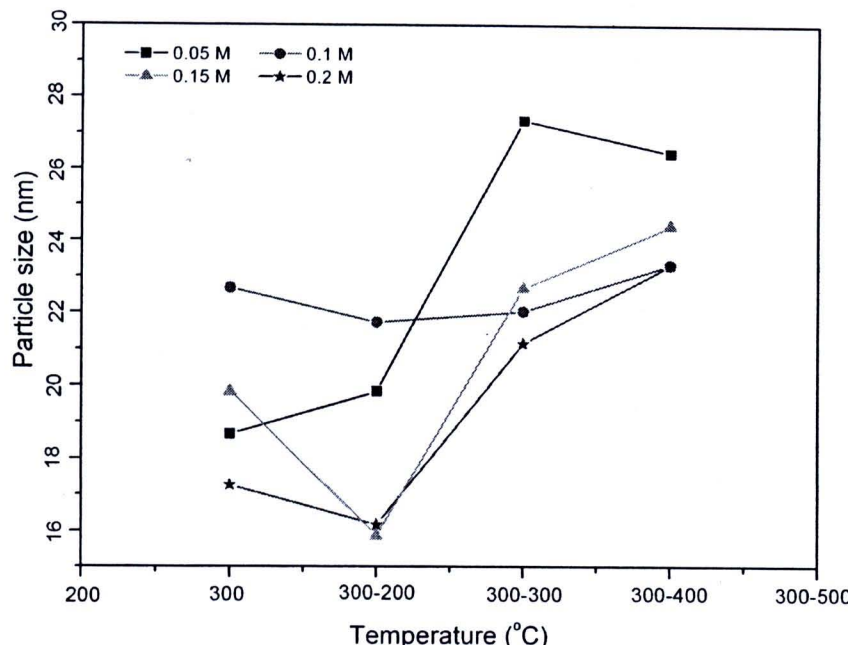
ในการเผาแคลไชน์แบบ 2 ขั้นตอนพบว่าไม่พบรากурсเปลี่ยนแปลงรีเป่า



รูปที่ 4.10 กราฟแสดงความสัมพันธ์ระหว่างค่า c/a ของโครงสร้างอะนาแทสของ TiO_2 ที่ผ่านการเผาแคลไชน์แบบ 2 ขั้นตอน เทียบกับความเข้มข้นของไทด์เนียม

4.7 ผลของวิธีการเผาแคลไชน์ที่มีต่อขนาดอนุภาค (อัตราเร็วที่ $0.5 \text{ M} 34$)

การคำนวณขนาดอนุภาค (Particle size) ของ TiO_2 จากข้อมูลการเลี้ยวเบนของรังสีเอกซ์โดยใช้สมการของเชิงเดอร์ไซด์รายงานไว้ในตารางที่ 4.2



รูปที่ 4.11 กราฟแสดงความสัมพันธ์ระหว่างขนาดอนุภาคอะนาเทสของ TiO_2 เทียบกับอุณหภูมิการเผาแคลไชน์แบบ 2 ขั้นตอน

จากรูปที่ 4.8 เมื่อพิจารณาแนวโน้มของขนาดอนุภาคที่แต่ละความเข้มข้นพบว่า ที่ความเข้มข้นของไทเทนียมเป็น 0.1-0.2 M ขนาดอนุภาคอะนาเทสที่ได้จากการเผาแคลไชน์แบบ 300-200°C มีขนาดเล็กกว่าอนุภาคที่ได้จากการเผาแคลไชน์แบบ 1 ขั้นตอน ที่อุณหภูมิ 300°C ซึ่งน่าจะมีสาเหตุมาจากการอนุภาคที่ได้จากการเผาแคลไชน์ในขั้นตอนแรก (ที่อุณหภูมิ 300°C) มีขนาดรัศมีของอนุภาคเล็กกว่ารัศมีวิกฤต (Critical radius) ดังนั้นเมื่ออนุภาคได้รับพลังงานในขั้นตอนที่ 2 (ที่อุณหภูมิ 200°C) อนุภาคดังกล่าวจะไม่เกิดการเติบโต กลับเกิดการละลายเป็นของเหลว ก่อน จากนั้นจะมีนิวเคลียสใหม่เกิดขึ้น และค่อยเกิดการเติบโตของอนุภาค ทำให้ขนาดอนุภาคที่ได้จากการเผาแคลไชน์แบบ 300-200°C เล็กกว่าอนุภาคที่ได้จากการเผาแคลไชน์ที่อุณหภูมิ 300°C ด้วยวิธีการเผาแบบ 1 ขั้นตอน จากนั้นเมื่อเพิ่มอุณหภูมิการเผาแคลไชน์ในขั้นตอนที่ 2 เป็นการเผาแบบ 300-300°C และ 300-400°C พบว่าอนุภาคอะนาเทสที่ได้จากการเผาแคลไชน์แบบ 2 ขั้นตอน มีอัตราการเติบโตที่ช้ากว่าอนุภาคอะนาเทสที่ได้จากการเผาแคลไชน์แบบ 1 ขั้นตอน เนื่องจากพลังงานที่ให้กับระบบใน

ขั้นตอนที่ 2 ส่วนหนึ่งจะถูกใช้ในการละลายอนุภาคที่มีขนาดเล็กกว่ารัศมีวิบคุต ส่งผลให้พลังงานสำหรับการขยายขนาดอนุภาคลดลง ดังนั้นมีอุณหภูมิเพิ่มขึ้นอย่างกะระยะที่ได้จากการเผาแคลไชน์แบบ 2 ขั้นตอน จะมีขนาดเพิ่มขึ้นมากกว่าอนุภาคอะนาเกสที่ได้จากการเผาแคลไชน์แบบ 1 ขั้นตอน

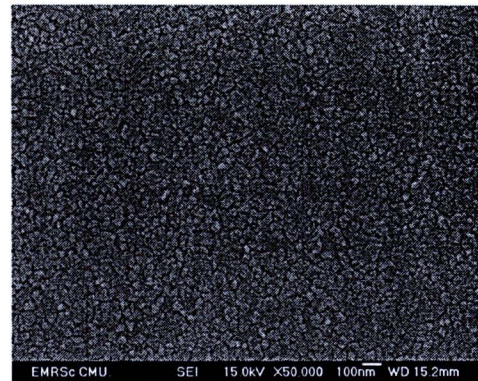
ตารางที่ 4.3 อัตราการเติบโตของอุณหภูมิของนาฬิกาเรือนตัววายบริสุทธิ์ในการเผาเคลือบ 1 ชั่วโมงและแบบ 2 ชั่วโมง

ความเข้มข้นของ Ti (M)	การเผาเคลือบไชน์แบบ 1 ชั่วโมง			การเผาเคลือบไชน์แบบ 2 ชั่วโมง		
	อุณหภูมิเคลือบไชน์ (°C)	อัตราการเติบโตของอุณหภูมิ	อุณหภูมิเคลือบไชน์ (°C)	อัตราการเติบโตของอุณหภูมิ	อัตราการเติบโตของอุณหภูมิ	อัตราการเติบโตของอุณหภูมิ
0.05	300	-	300-200	-	-	-
	400	0.040018462	300-300	0.075250212	-	-
	500	0.061823055	300-400	-0.009121238	-	-
	600	0.0641	-	-	-	-
	300	-	300-200	-	-	-
	400	0.017430599	300-300	0.001068872	-	-
0.1	500	0.034279275	300-400	0.008792947	-	-
	550	0.148500152	-	-	-	-
	600	0.0881	-	-	-	-
	300	-	300-200	-	-	-
	400	0.090189921	300-300	0.068015585	-	-
	500	0.042052439	300-400	0.017432387	-	-
0.15	600	0.066136428	-	-	-	-
	300	-	300-200	-	-	-
	400	0.0479	300-300	0.049889571	-	-
	500	0.084768223	300-400	0.02178753	-	-
0.2	600	0.091559441	-	-	-	-
	-	-	-	-	-	-

4.8 ผลการตรวจสอบโครงสร้างในระดับจุลภาคของฟิล์มบาง TiO_2 ด้วยกล้องจุลทรรศน์อิเล็กตรอนแบบส่องกราด (SEM)

4.8.1 ฟิล์มบางของ TiO_2 ที่ผ่านการเผาด้วยวิธีการแบบ 1 ขั้นตอน

TiO_2 15 ชั่วโมง

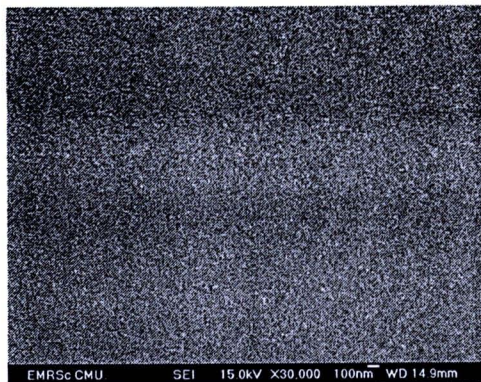


TiO_2 15 ชั่วโมง

รูปที่ 4.12 ภาพถ่าย SEM ของฟิล์มบางของ TiO_2 ที่ผ่านการเผาเคลือบชั้นที่อุณหภูมิ (ก) 400°C (ข) 500°C



4.8.2 ฟิล์มบางของ TiO_2 ที่เผาด้วยวิธีการแบบ 2 ขั้นตอน



TiO_2 15 ชั้น 300-400°C

รูปที่ 4.13 ภาพถ่าย SEM ของฟิล์มบางของ TiO_2 ที่ใช้วิธีการเผาแคลไชน์ (ก) แบบ 1 ชั้นตอน
(ข) แบบ 2 ชั้นตอน

4.9 ผลการตรวจสอบสมบัติทางแสงของฟิล์มบาง TiO_2 ด้วยเครื่องวัดค่าการดูดกลืนแสง (UV-Vis spectrophotometer)

ตารางที่ 4.4 แสดงค่าพัลส์งานและช่องว่างของฟิล์มบางที่ผ่านการเผาเคลือบในด้วยวิธีการแบบ 1 ขั้นตอน และแบบ 2 ขั้นตอน

